

# SLAM with 3DGS

---

1. SplaTAM:Splat, Track & Map 3D Gaussians for Dense RGB-D SLAM [CVPR 2024]
2. Gaussian Splatting SLAM [CVPR 2024 (Highlight)]



***Sogang University***

*Vision & Display Systems Lab, Dept. of Electronic Engineering*



***Presented By***

*120240320 신은호*

# Contents

- Background
  - SLAM
  - 3DGS
- SplaTAM [CVPR 2024]
- Gaussian Splatting SLAM [CVPR 2024 (Highlight)]

# Background

- SLAM(Simultaneous Localization and Mapping):동시적 위치추정 및 지도작성

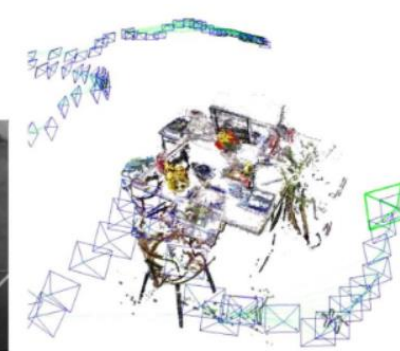
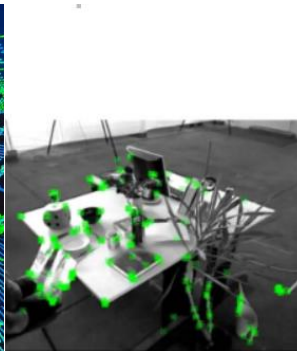
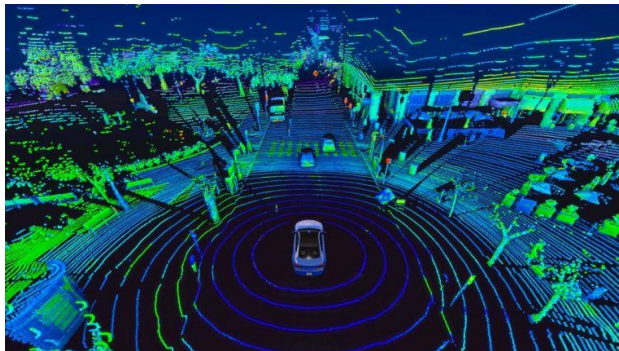
- 목적

- SLAM 알고리즘이 탑재된 로봇은 바퀴 회전 수, 카메라 및 기타 영상 센서에서 가져온 데이터를 사용하여 필요한 움직임의 양을 파악
- 실시간으로 컴퓨터가 공간에 대한 정보를 이해하고 사용할 수 있도록 가공
- 이동 로봇의 길 찾기, 자율 주행 차량의 빈 공간 주차, 미지의 환경에서의 드론 조종, AR/VR contents 제작 등 활용

- 연구 필요성

- 기존 Hand-crafted, Rule base 방식의 문제 상황 직면

※ 밝기 변화와 Dynamic/Poorly 텍스처 환경 문제로 Deep Learning 기반 방식 대두



# Background

- 3DGS(3D Gaussian Splatting [SIGGRAPH 2023])

- 목적

- 각 point cloud를 중심으로 하는 3D Gaussians를  $\alpha$ -blending 하면 image 생성 가능
- Multiview를 통해 Gaussians의 parameter( $\mu$ ,  $\Sigma$ , scale)를 update

- 주요 수식

- $\Sigma = RSS^T R^T, \Sigma' = JW\Sigma W^T J^T$

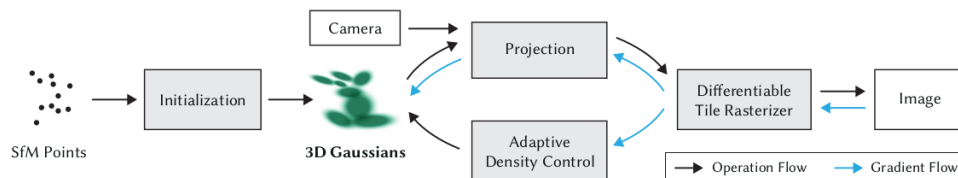
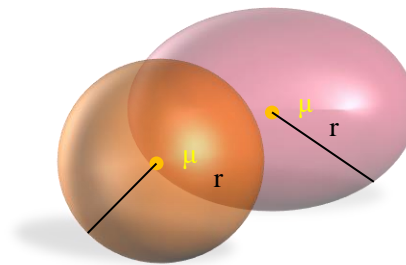
- ※ Projective Transformation의 Jacobian(편미분) J, World2Camera W

- ※  $\Sigma'$ 는  $\Sigma$ 의 2D projection

- $C(p) = \sum_{i=1}^n c_i f_i(p) \prod_{j=1}^{i-1} (1 - f_j(p))$ ,  $f = \exp(-\frac{1}{2}(x)^T \Sigma^{-1}(x))$

- 결과

- 빠른 학습속도 및 Rendering 속도
- 명시적인 공간 표현으로 확장 가능



# SplaTAM

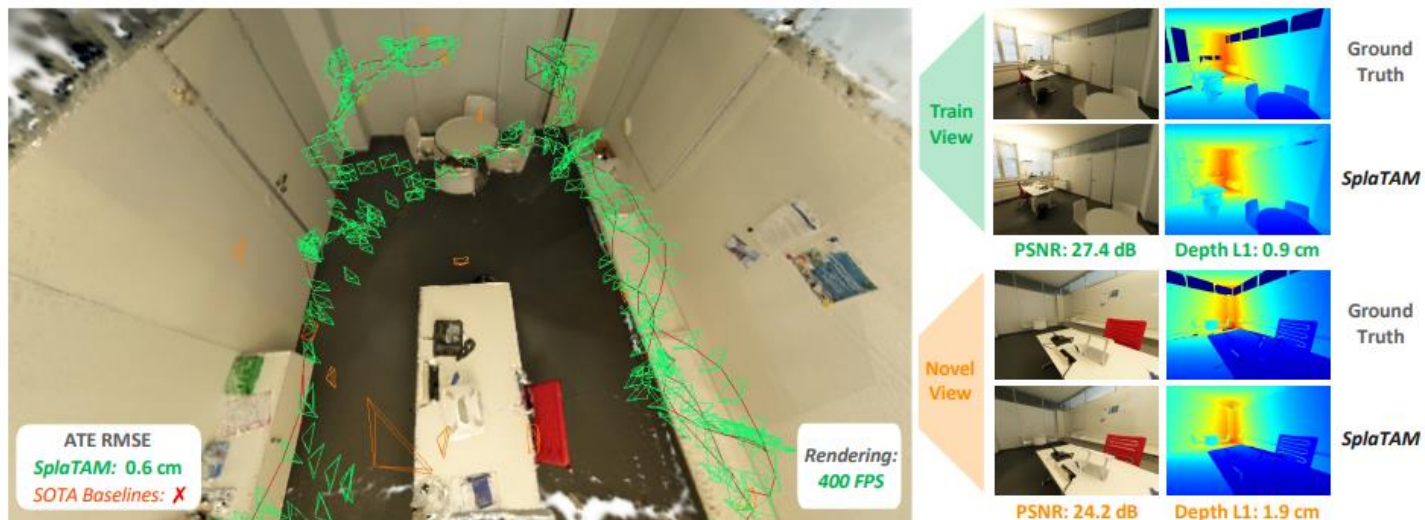
## • Introduction

### ▪ 3D Gaussian 기반 공간 표현 방식 이용 첫 SLAM 연구

- 3DGS의 높은 품질의 reconstruction과 real-time rendering 성능 이용
- 단일 unposed monocular RGB-D camera 이용 3D Gaussian 장면 구성 가능
- Radiance field 기반 표현 방식(implicit representation) 한계점과의 비교

※ 계산 복잡성, 어려운 edit, 기하적 표현 명시성 부족, ‘catastrophic forgetting’ 발생

SLAM의 후반 frame 학습 과정중 전반 frame 잊음 및 혼동 ←



# SplaTAM

- Main Contribution

- Fast rendering and rich optimization

- 400FPS 속도의 rendering 가능
    - Multiview 대상 학습 방식이었던 기존 GS와 다른 SLAM 고유의 학습법
    - Dense photometric loss 수행 가능

- Maps with explicit spatial extent

- Gaussian을 추가함으로써 이전에 관측되었던 장면 수정 손쉽게 가능
    - 새로운 image frame이 제공될 경우, silhouette rendering 통해 new content 탐색 가능
      - ※ Implicit의 경우 global changes 발생으로 unmapped 영역 지속적 변경

- Explicit map

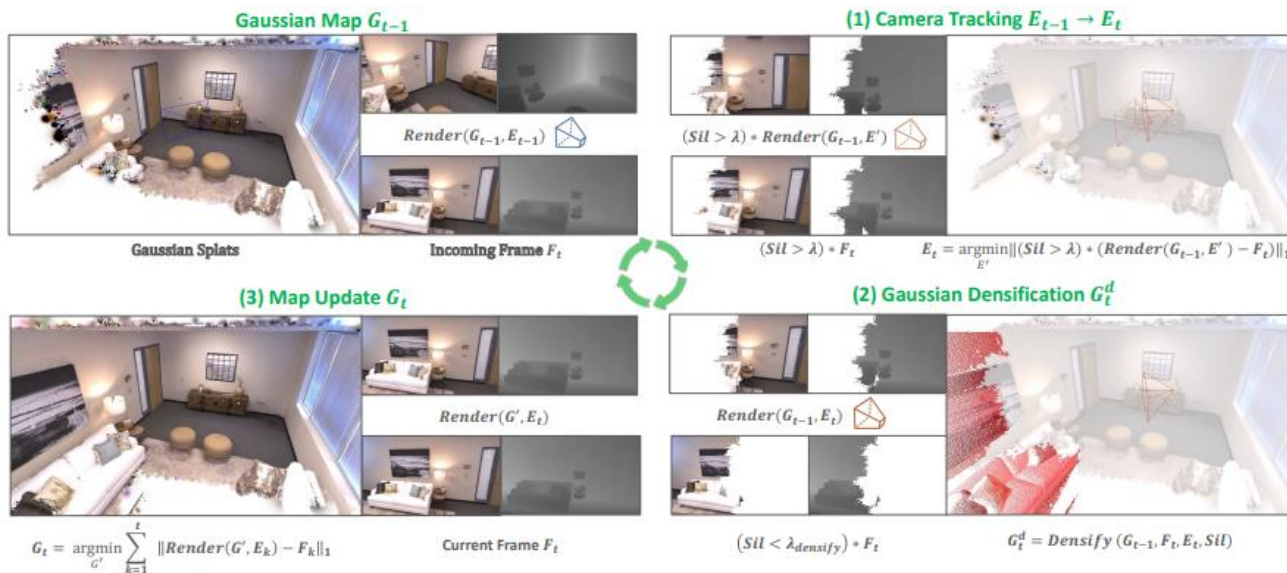
- Map의 수용 능력을 Gaussian을 추가함으로써 flexible하게 조정 가능
    - 장면의 특정 영역 edit 가능

# SplaTAM

- Main Contribution

- 동작 구조

- Top-Left : 해당 frame RGB-D 입력에 대하여 3D Gaussian map 표현
- Top-Right : 새로운 입력 이미지에 대한 카메라 포즈를 추정
- Bottom-Right : silhouette과 input depth 기반으로 새로운 Gaussians를 추가함으로써 Map capacity 확장
- Bottom-Left : Differentiable rendering을 통해 Gaussian map update



# SplaTAM

- Main Contribution

- Gaussian Map representation

- 각 Gaussian은 8개 parameter로 구성

- ※ RGB c 3개, center position  $\mu \in R^3$ , 반지름 r, opacity  $o \in [0, 1]$

- 3차원의 점  $x$ 에 대한 opacity :  $f(x) = o \exp\left(-\frac{\|x-\mu\|}{2r^2}\right)$

- $C(p) = \sum_{i=1}^n c_i f_i(p) \prod_{j=1}^{i-1} (1 - f_j(p))$ ,  $\mu^{2D} = K \frac{E_t \mu}{d}$ ,  $r^{2D} = \frac{fr}{d}$ , where  $d = (E_t \mu)_z$ .

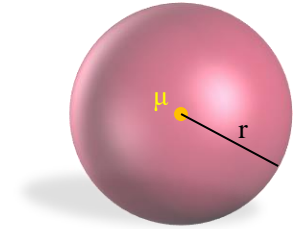
- ※ K : known camera intrinsic matrix

- ※  $E_t$ : extrinsic matrix (rotation & translation) at frame t

- ※ f : focal length, d : camera coordinate에서의 depth

- $D(p) = \sum_{i=1}^n d_i f_i(p) \prod_{j=1}^{i-1} (1 - f_j(p))$ ,  $S(p) = \sum_{i=1}^n f_i(p) \prod_{j=1}^{i-1} (1 - f_j(p))$

- ※ Depth rendering & Silhouette rendering





# SplaTAM

- Main Contribution

- Camera Tracking

- 현재 입력된 RGB-D image를 통해 camera pose 추정

- $E_{t+1} = E_t + (E_t - E_t)$

- ※ 새로운 timestep의 pose는 이전 이동 방향을 유지한다고 가정

- RGB rendering을 통한 Gradient-based 최적화

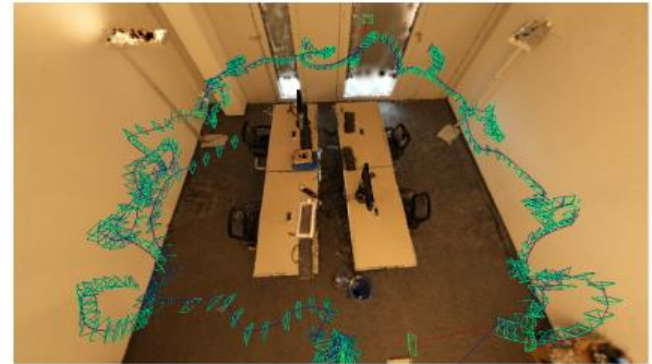
- $L_t = \sum_p (S(p) > 0.99) (L_1(D(p)) + 0.5L_1(C(p)))$

- ※ 앞서 계산된 Silhouette 기반 minimize Loss

- ※ Depth와 color render에 대한 L1 loss 수행

- ※  $S(p) > 0.99$ 를 통해 아직 충분히 학습된 영역만을 통해 pose estimation

- ✓ 기존 Gaussian으로 비교 가능한 영역만을 한정하므로 최적화 성능 향상



# SplaTAM

- Main Contribution

- Gaussian Densification

- Densification Mask 생성 후 해당 영역에 대하여 Gaussian density 진행

- 충분히 dense한 영역에 대해서는 Gaussian 추가하지 않음

- $M(p) = (S(p) < 0.5) + (D_{GT}(p) < D(p))(L_1(D(p)) > 50MDE)$

- ⌘ Dense하지 않은 영역  $S < 0.5$

- ✓ 기존 Gaussian이 차지하지 않는 영역

- ⌘ GT Depth가 예측된 Depth보다 앞에 있으며 median depth error의 50배 이상인 경우

- ✓ Occlusion 혹은 새로운 물체가 발생한 경우

- $r = \frac{D_{GT}}{f}$

- ⌘ First frame initialization과 동일한 방식으로 new Gaussian 생성

# SplaTAM

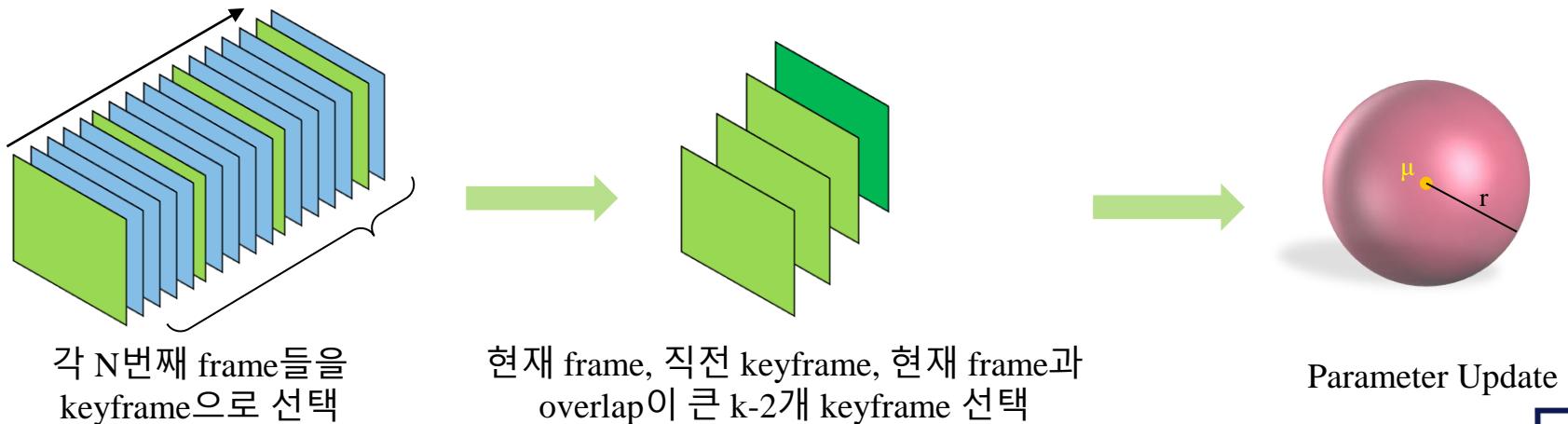
- Main Contribution

- Gaussian Map Updating

- 추정된 online 카메라 포즈 집합을 바탕으로 3D Gaussian Map 파라미터 업데이트
    - Pose Estimation과 달리 고정된 pose에 대하여 Gaussian Parameter Update
    - 이미 알려진 posed image에 radiance field를 fitting하는 “classic”한 방식과 2가지 차이점

※ 기존의 Multi-view 대상 3DGS 등

- 1. 가장 최근에 구축된 Map에서 최적화 시작,
    - 2. 모든 keyframes에 대해 수행하지 않고 새로 추가된 Gaussian에 영향을 미칠 가능성이 있는 프레임 선택 후 Update



각  $N$ 번째 frame들을  
keyframe으로 선택

현재 frame, 직전 keyframe, 현재 frame과  
overlap이 큰  $k-2$ 개 keyframe 선택

Parameter Update

# SplaTAM

- Datasets

- Replica

- 합성 장면 dataset으로 높은 정확도와 완성된 depth map
    - 연속된 frame간 적은 움직임으로 simplest benchmark

- TUM-RGBD & ScanNet

- 낮은 품질의 RGB와 Depth image
    - Depth의 경우 missing information 다수 존재
    - Color의 경우 motion blur 다량 존재

- ScanNet++

- DSLR로 취득된 장면, dense한 trajectories
    - Color와 depth image의 높은 품질
    - 훈련 과정과 별도로 촬영된 novel hold-out view 존재
    - Replica의 약 30배 정도의 카메라 이동 정도

# SplaTAM

- Result & Discussion

- Quantitative result

- Camera-Pose Estimation Result

Methods	Avg.	S1	S2
Point-SLAM [30]	343.8	296.7	390.8
ORB-SLAM3 [3]	158.2	156.8	159.7
<b>SplaTAM</b>	<b>1.2</b>	<b>0.6</b>	<b>1.9</b>

ScanNet++ [48]

Methods	Avg.	fr1/ desk	fr1/ desk2	fr1/ room	fr2/ xyz	fr3/ off.
Kintinuous [41]	4.84	3.70	7.10	7.50	2.90	3.00
ElasticFusion [42]	6.91	2.53	6.83	21.49	1.17	2.52
ORB-SLAM2 [23]	<b>1.98</b>	<b>1.60</b>	<b>2.20</b>	<b>4.70</b>	<b>0.40</b>	<b>1.00</b>
NICE-SLAM [53]	15.87	4.26	4.99	34.49	31.73	3.87
Vox-Fusion [45]	11.31	3.52	6.00	19.53	1.49	26.01
Point-SLAM [30]	8.92	4.34	4.54	30.92	1.31	3.48
<b>SplaTAM</b>	<b>5.48</b>	<b>3.35</b>	<b>6.54</b>	<b>11.13</b>	<b>1.24</b>	<b>5.16</b>

TUM-RGBD [36]

Methods	Avg.	R0	R1	R2	Of0	Of1	Of2	Of3	Of4
Vox-Fusion [45]	3.09	1.37	4.70	1.47	8.48	2.04	2.58	1.11	2.94
NICE-SLAM [53]	1.06	0.97	1.31	1.07	0.88	1.00	1.06	1.10	1.13
ESLAM [12]	0.63	0.71	0.70	0.52	0.57	0.55	0.58	0.72	0.63
Point-SLAM [30]	0.52	0.61	0.41	0.37	<b>0.38</b>	0.48	0.54	0.69	0.72
<b>SplaTAM</b>	<b>0.36</b>	<b>0.31</b>	<b>0.40</b>	<b>0.29</b>	0.47	<b>0.27</b>	<b>0.29</b>	<b>0.32</b>	<b>0.55</b>

Replica [35]

Methods	Avg.	0000	0059	0106	0169	0181	0207
Vox-Fusion [45]	26.90	68.84	24.18	8.41	27.28	23.30	9.41
NICE-SLAM [53]	<b>10.70</b>	12.00	14.00	<b>7.90</b>	<b>10.90</b>	13.40	<b>6.20</b>
Point-SLAM [30]	12.19	<b>10.24</b>	<b>7.81</b>	8.65	22.16	14.77	9.54
<b>SplaTAM</b>	<b>11.88</b>	12.83	10.10	17.72	12.08	<b>11.10</b>	7.46

Orig-ScanNet [5]

# SplaTAM

- Result & Discussion

- Quantitative result

- Train View Rendering Performance on Replica

Methods	Metrics	Avg.	R0	R1	R2	Of0	Of1	Of2	Of3	Of4
Vox-Fusion [45]	PSNR ↑	24.41	22.39	22.36	23.92	27.79	29.83	20.33	23.47	25.21
	SSIM ↑	0.80	0.68	0.75	0.80	0.86	0.88	0.79	0.80	0.85
	LPIPS ↓	0.24	0.30	0.27	0.23	0.24	0.18	0.24	0.21	0.20
NICE-SLAM [53]	PSNR ↑	24.42	22.12	22.47	24.52	29.07	30.34	19.66	22.23	24.94
	SSIM ↑	0.81	0.69	0.76	0.81	0.87	0.89	0.80	0.80	0.86
	LPIPS ↓	0.23	0.33	0.27	0.21	0.23	0.18	0.24	0.21	0.20
Point-SLAM [30]	PSNR ↑	35.17	32.40	34.08	35.50	38.26	39.16	33.99	33.48	33.49
	SSIM ↑	0.98	0.97	0.98	0.98	0.98	0.99	0.96	0.96	0.98
	LPIPS ↓	0.12	0.11	0.12	0.11	0.10	0.12	0.16	0.13	0.14
SplaTAM	PSNR ↑	34.11	32.86	33.89	35.25	38.26	39.17	31.97	29.70	31.81
	SSIM ↑	0.97	0.98	0.97	0.98	0.98	0.98	0.97	0.95	0.95
	LPIPS ↓	0.10	0.07	0.10	0.08	0.09	0.09	0.10	0.12	0.15

Rendering performance가 입력으로 사용된 training view에서 평가되기 때문에 overfitting 의심 가능

따라서, novel view rendering 평가 수행

- Novel & Train View Rendering on ScanNet++

Methods	Metrics	Novel View			Training View		
		Avg.	S1	S2	Avg.	S1	S2
Point-SLAM [30]	PSNR [dB] ↑	11.91	12.10	11.73	14.46	14.62	14.30
	SSIM ↑	0.28	0.31	0.26	0.38	0.35	0.41
	LPIPS ↓	0.68	0.62	0.74	0.65	0.68	0.62
	Depth L1 [cm] ↓	x	x	x	x	x	x
SplaTAM	PSNR [dB] ↑	24.41	23.99	24.84	27.98	27.82	28.14
	SSIM ↑	0.88	0.88	0.87	0.94	0.94	0.94
	LPIPS ↓	0.24	0.21	0.26	0.12	0.12	0.13
	Depth L1 [cm] ↓	2.07	1.91	2.23	1.28	0.93	1.64

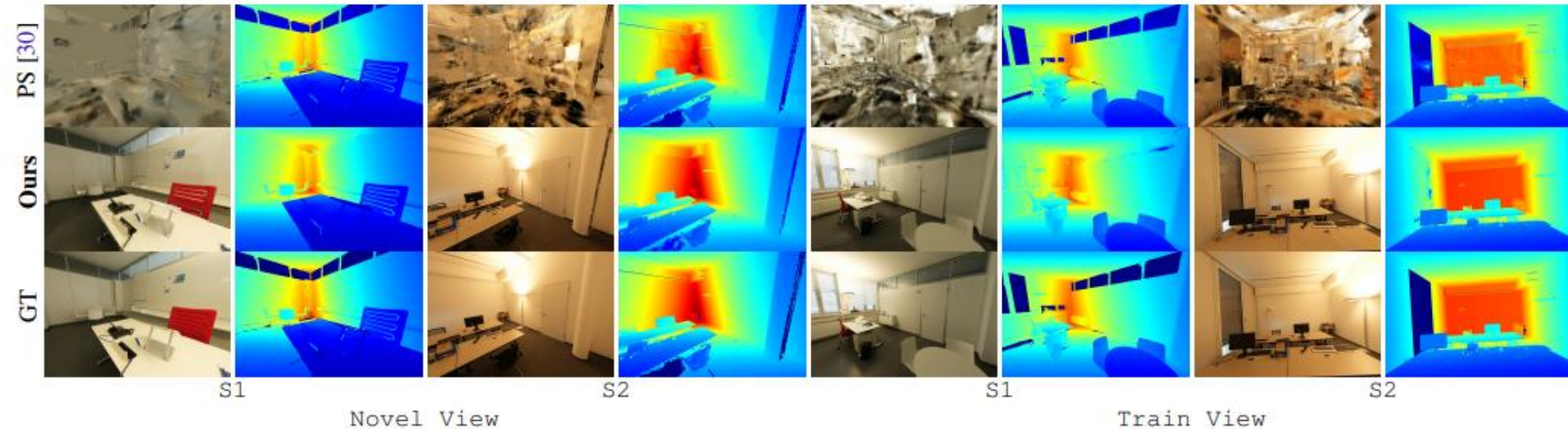
# SplaTAM

- Result & Discussion

- Qualitative result

- PS(Point-SLAM)의 경우 GT depth를 이용하여 rendering
    - GT depth를 이용하였음에도 불구하고, Tracking자체를 실패하여, Novel view Rendering 실패

Methods	Avg.	S1	S2
Point-SLAM [30]	343.8	296.7	390.8
ORB-SLAM3 [3]	158.2	156.8	159.7
<i>SplaTAM</i>	<b>1.2</b>	<b>0.6</b>	<b>1.9</b>



Novel View

Train View

# SplaTAM

- Result & Discussion

- (본문) Limitations & Future Work

- Motion blur, large depth noise, aggressive rotation에 민감한 성능 변화 확인
    - 시간을 고려한 모델을 통해 해당 문제 해결 완화 기대
    - 대규모 공간으로의 연구 확장
    - Camera의 intrinsic 설정 값과 dense depth 가 SLAM 동작을 위해 필요

- 추가 Limitations

- Rendering 속도가 빠른 것으로 설명했으나, 상대적으로 느린 학습 속도
    - 타 GS 기반 SLAM과 비교하였을 경우 상대적으로 낮은 성능



# Gaussian Splatting SLAM

- Introduction

- 3D Gaussian Splatting in Monocular SLAM

- 3 fps로 실시간 수행

- 3D representation을 위해 Gaussian만을 이용

- ※ Accurate, efficient tracking, mapping, and high-quality rendering

- 외부 깊이 센서가 있는 경우 RGB-D SLAM으로 확장 가능

- 3D Gaussian Splatting 한계 해결

- Structured from Motion을 통해 시스템의 정확한 포즈를 요구하는 기존 알고리즘 해결

- ※ 직접 최적화를 사용하는 3DGS를 위한 카메라 추적 공식화

- Explicit한 Gaussian의 특징을 활용하여 기하학적 검증 및 정규화 도입

- 작은 물체와 투명한 물체의 재구성에서도 sota 성능 달성

# Gaussian Splatting SLAM

- Main Contribution

- Gaussian Splatting

- $C(p) = \sum_{i=1}^n c_i f_i(p) \prod_{j=1}^{i-1} (1 - f_j(p))$

- ※ N개의 Gaussians를 Blending 하여 pixel color C 출력

- ✓ SH(Spherical Harmonics) 아닌 RGB color 이용

- $\mu_i = \pi(T_{CW} \cdot \mu_W), \Sigma_I = JW\Sigma_W W^T J^T$

- ※ 3D Gaussian  $N(\mu_W, \Sigma_W)$  in world coordinates

- 2D Gaussian  $N(\mu_I, \Sigma_I)$  in image plane

- ※  $\pi$  : projection operation,  $T_{CW} \in SE(3)$  : camera pose of the viewpoint

- 위의 공식을 통해 3D Gaussians는 미분 가능한 blending 동작 수행 가능

- First-order gradient descent 통해 Gaussians의 optic & geometric params update

# Gaussian Splatting SLAM

- Main Contribution

- Camera Pose Optimization

- For Accurate Tracking,

- ※ 일반적으로 50 iterations gradient descent per frame 필요
      - ※ 높은 효율의 view synthesis와 gradient computation 동작 중요

- Parameter calculated explicitly

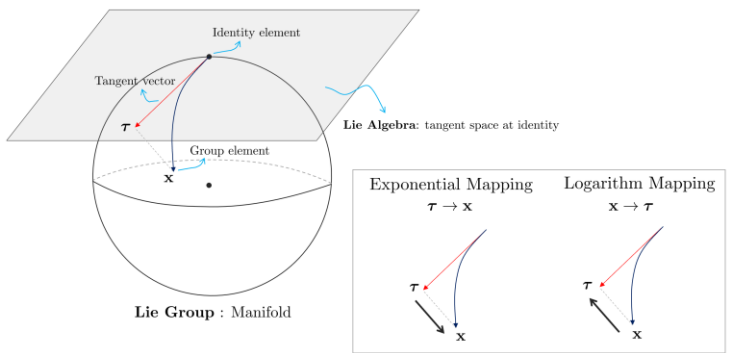
- ※ Automatic differentiation의 높은 overhead를 피하기 위해, 3DGS에서 rasterization CUDA를 통해 명시적으로 모든 파라미터 미분 계산
      - ※ 이와 유사하게 camera Jacobians 명시적으로 계산

$$-\frac{\partial \mu_I}{\partial T_{CW}} = \frac{\partial \mu_I}{\partial \mu_C} \frac{D\mu_C}{DT_{CW}}, \frac{\partial \Sigma_I}{\partial T_{CW}} = \frac{\partial \Sigma_I}{\partial J} \frac{\partial J}{\partial \mu_C} \frac{\partial \mu_C}{\partial T_{CW}} + \frac{\partial \Sigma_I}{\partial W} \frac{\partial W}{\partial T_{CW}}$$

- ※ Camera pose  $T_{CW}$ 로 미분할 때, chain rule

$$\frac{Df(T)}{DT} \triangleq \lim_{\tau \rightarrow 0} \frac{\text{Log}(f(\text{Exp}(\tau) \circ T) \circ f(T)^{-1})}{\tau},$$

$$\frac{D\mu_C}{DT_{CW}} = [I \quad -\mu_C^\times], \frac{DW}{DT_{CW}} = \begin{bmatrix} 0 & -W^\times_{:,1} \\ 0 & -W^\times_{:,2} \\ 0 & -W^\times_{:,3} \end{bmatrix}$$



# Gaussian Splatting SLAM

- Main Contribution

- SLAM(Tracking)

- Tracking 과정에서 현재 frame camera pose를 optimize

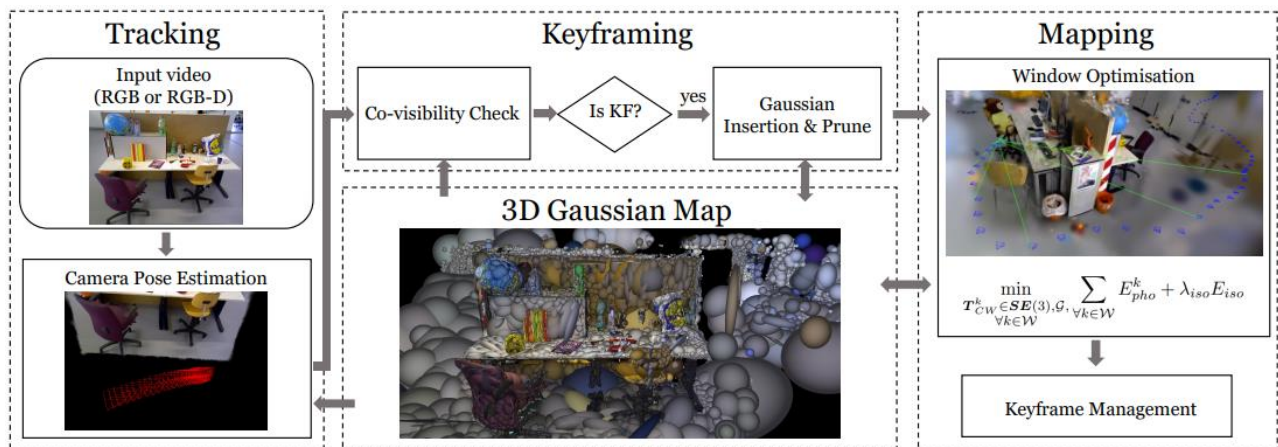
- ☼  $E_{pho} = \|I(G, T_{CW}) - \bar{I}\|_1$

- ✓  $I(G, T_{CW})$ 는 렌더링된 이미지,  $\bar{I}$ 는 관측된 이미지

- ☼  $E_{geo} = \|D(G, T_{CW}) - \bar{D}\|_1$

- ✓ Depth 관측 가능한 경우 geometric residual 도입

- ✓ Gaussian initialize를 위해 사용하지 않음



# Gaussian Splatting SLAM

- Main Contribution

- SLAM(Keyframing)

- Selection and Management

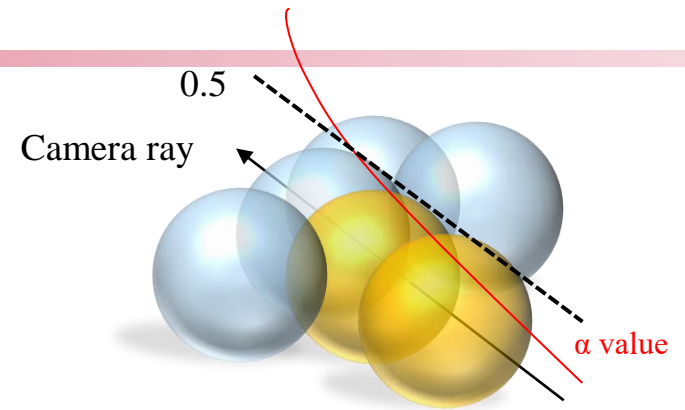
- ※ 현재 frame  $i$ 와 이전 keyframe  $j$  간의 관찰된 Gaussians의 교집합 비율을 측정하여 가시성 평가
      - ※ 가시성이 threshold 미만으로 떨어지거나, translation이 일정 크기 이상일 경우 keyframe으로 등록

- Gaussian Covisibility

- ※ 3D Gaussian이 camera 위치로 부터 sorting 되기 때문에 visibility 판별 이용
      - ※ 해당 시점으로부터 rasterization을 수행 할 때,  $\alpha$ (opacity)값이 0.5 미만인 영역

- Gaussian Insertion and Pruning

- ※ 모든 keyframe에 대해 새로운 Gaussian이 삽입되어 새로 보이는 장면을 포착하고 세부사항 정제
      - ※ Monocular 상황에서 Gaussian의 새로운 위치는 부정확할 것이지만 multi-view consistency를 통해 최적화



# Gaussian Splatting SLAM

- Main Contribution

- Mapping

- Isotropic regularization

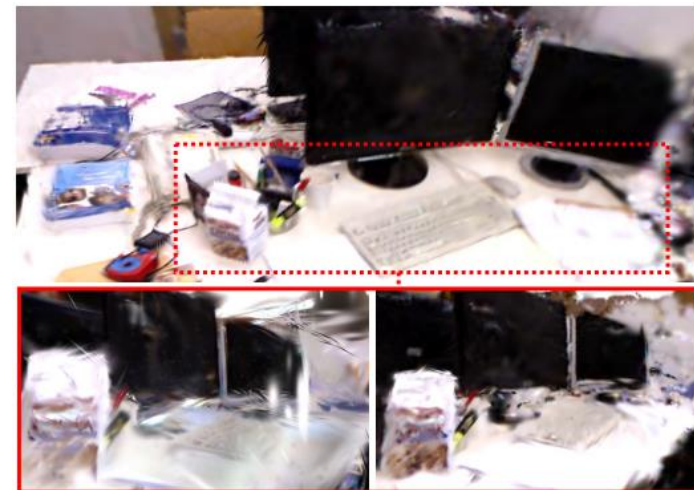
$$\ast E_{iso} = \sum_{i=1}^{|G|} \|s_i - \tilde{s}_i \cdot 1\|_1$$

- ✓ Scaling paramters 타원의 신축에 mean값과의 차이로 penalizing

- ✓ 구형성을 장려, 시점에 따른 artifact 억제

$$\ast \min_{T_{CW}^k \in SE(3), G, k \in W} \sum_{k \in W} E_{pho}^k + \lambda_{iso} E_{iso}$$

- ✓ Depth 관측이 가능한 경우  $E_{geo}$  추가



Top : Rendering close to training view  
Bottom : Rendering far from training view

# Gaussian Splatting SLAM

- Experimental Setup

- Datasets

- TUM RGB-D dataset, Replica dataset(Synthetic)

- ※ Replica의 경우 challenging한 purely rotational camera motions 포함

- ✓ RGB-D evaluation 수행

- ※ TUM RGB-D 의 경우 RGB, RGB-D evaluation 수행

- Self-captured real-world sequences by Intel Realsense d455

- Metrics

- RMSE of Absolute Trajectory Error(ATE)

- PSNR, SSIM, LPIPS

- ※ 매 5<sup>th</sup> frame 마다 평가

# Gaussian Splatting SLAM

- Results

- Tracking

- Monocular 설정에서, depth predictor or tracking modules 등 deep prior 없이 높은 성능 확인
    - 기본적인 SLAM 표현을 탐구함으로써 성능 개선의 잠재력이 남아있음 확인 가능

Input	Loop-closure	Method	fr1/desk	fr2/xyz	fr3/office	Avg.
Monocular	w/o	DSO [5]	22.4	<b>1.10</b>	9.50	11.0
		DROID-VO [38]	<u>5.20</u>	10.7	<u>7.30</u>	<u>7.73</u>
		DepthCov-VO [4]	5.60	<u>1.20</u>	68.8	25.2
		<b>Ours</b>	<b>3.78</b>	4.60	<b>3.50</b>	<b>3.96</b>
		DROID-SLAM [38]	<b>1.80</b>	<b>0.50</b>	2.80	1.70
	ORB-SLAM2 [21]	1.90	0.60	<b>2.40</b>	<b>1.60</b>	
RGB-D	w/o	iMAP [35]	4.90	2.00	5.80	4.23
		NICE-SLAM [48]	4.26	6.19	3.87	4.77
		DI-Fusion [8]	4.40	2.00	5.80	4.07
		Vox-Fusion [45]	3.52	1.49	26.01	10.34
		ESLAM [9]	2.47	<b>1.11</b>	2.42	<u>2.00</u>
		Co-SLAM [41]	<u>2.40</u>	1.70	<u>2.40</u>	2.17
		Point-SLAM [29]	4.34	<u>1.31</u>	3.48	3.04
		<b>Ours</b>	<b>1.50</b>	1.44	<b>1.49</b>	<b>1.47</b>
	w/	BAD-SLAM [31]	1.70	1.10	1.70	1.50
		Kintinous [42]	3.70	2.90	3.00	3.20
		ORB-SLAM2 [21]	<b>1.60</b>	<b>0.40</b>	<b>1.00</b>	<b>1.00</b>

Camera tracking result on TUM for monocular and RGB-D

Method	r0	r1	r2	o0	o1	o2	o3	o4	Avg.
iMAP [35]	3.12	2.54	2.31	1.69	1.03	3.99	4.05	1.93	2.58
NICE-SLAM	0.97	1.31	1.07	0.88	1.00	1.06	1.10	1.13	1.07
Vox-Fusion [45]	1.37	4.70	1.47	8.48	2.04	2.58	1.11	2.94	3.09
ESLAM [9]	0.71	0.70	0.52	0.57	0.55	0.58	0.72	<b>0.63</b>	0.63
Point-SLAM [29]	0.61	0.41	0.37	<u>0.38</u>	<u>0.48</u>	0.54	0.69	<u>0.72</u>	<u>0.53</u>
<b>Ours</b>	<u>0.44</u>	<u>0.32</u>	<u>0.31</u>	0.44	0.52	<b>0.23</b>	<u>0.17</u>	2.25	0.58
<b>Ours (sp)</b>	<b>0.33</b>	<b>0.22</b>	<b>0.29</b>	<b>0.36</b>	<b>0.19</b>	<u>0.25</u>	<b>0.12</b>	0.81	<b>0.32</b>

Camera tracking result on Replica for RGB-D (sp)는 single process 타 Method아 동일 iteration

Input	Method	fr1/desk	fr2/xyz	fr3/office	Avg.
Mono	w/o $E_{iso}$	4.16	4.66	5.73	4.83
	w/o kf selection	13.2	<b>4.36</b>	8.65	8.73
	<b>Ours</b>	<b>3.78</b>	4.60	<b>3.50</b>	<b>3.96</b>
RGB-D	w/o $E_{geo}$	2.39	<b>0.62</b>	4.98	2.66
	w/o kf selection	1.64	1.49	2.60	1.90
	<b>Ours</b>	<b>1.50</b>	1.44	<b>1.49</b>	<b>1.47</b>

Ablation Study on TUM RGB-D isotropic regularization, geometric residual, keyframe selection



# Gaussian Splatting SLAM

- Results

- Novel view rendering

- 타 방식보다 수백배 빠른 FPS로 rendering 가능

- ⊛ Real-time map interaction 가능

- NeRF 기반 Point-SLAM 과 비교하여 fine detail capture에 장점을 가짐

- ⊛ 우측 결과 이미지

Method	PSNR[db]↑	SSIM↑	LPIPS↓	Rendering FPS
NICE-SLAM[48]	24.42	0.809	0.233	0.54
Vox-Fusion[45]	24.41	0.801	0.236	<u>2.17</u>
Point-SLAM [29]	<u>35.17</u>	<b>0.975</b>	0.124	1.33
<b>ours</b>	<b>38.94</b>	<u>0.968</u>	<b>0.070</b>	<b>769</b>

Average rendering performance on Replica(RGB-D)

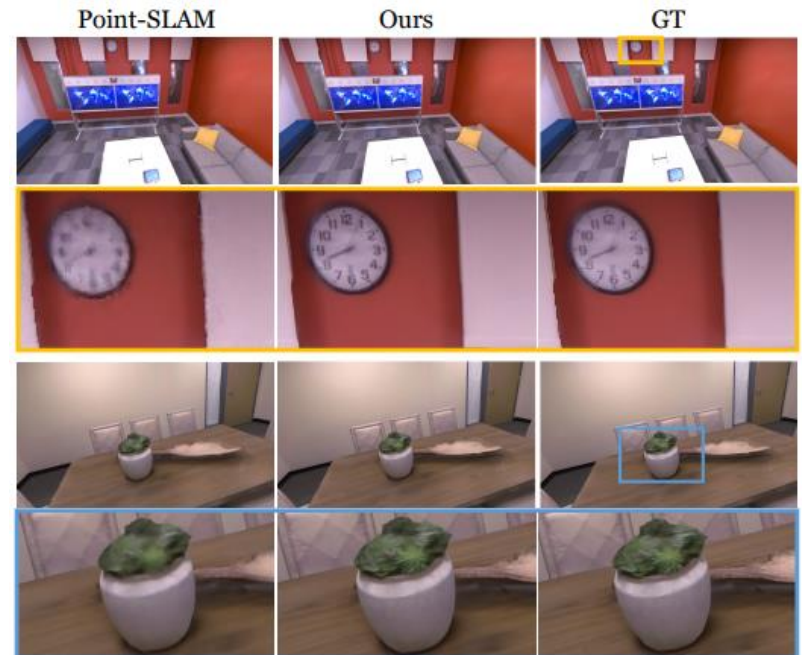


Figure 4. **Rendering examples on Replica.** Point-SLAM struggle with rendering fine details due to the stochastic ray sampling.

# Gaussian Splatting SLAM

- Results

- Convergence basin analysis

- Camera Localization 능력 평가

- ⌘ Co-SLAM(Hash Grid SDF)

- ⌘ iMAP(MLP SDF)

✓Co-SLAM 방식에서 loss 추가

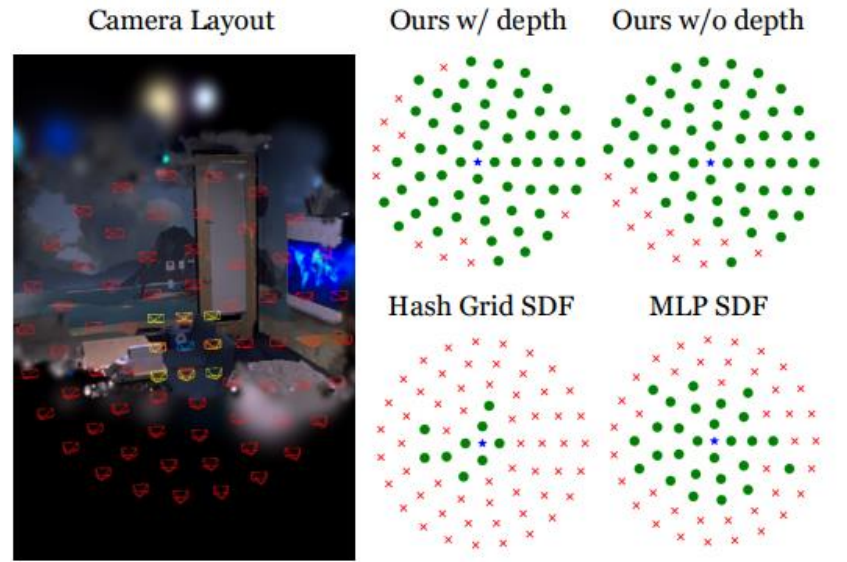
Method	seq1	seq2	seq3	Avg.
Neural SDF (Hash Grid)	0.13	0.15	0.16	0.14
Neural SDF (MLP)	0.40	0.38	0.22	0.33
Ours w/o depth	<u>0.82</u>	<u>0.91</u>	<b>0.65</b>	<u>0.79</u>
Ours w/ depth	<b>0.83</b>	<b>1.0</b>	<b>0.65</b>	<b>0.82</b>

- 결과 해석

- ⌘ Hash Grid SDF & MLP SDF(Depth 이용)보다 더 좋은 수렴 능력 확인 가능

- ⌘ Hashing 및 positional encoding이 signal conflict 가능성 존재

- ⌘ Anisotropic Gaussian은 smooth gradient 형성



Train views : 노란색 Target view : 파란색 Test views : 빨간색  
 train 약 0.5m 영역, 0.2m ~ 1.2m 영역 Localization test 수행

# Gaussian Splatting SLAM

- Conclusion
  - 3D Gaussians를 SLAM 표현 방법으로 사용한 첫 연구
  - Volume rendering을 통해 다양한 object materials를 live SLAM에서 재현
  - Monocular와 RGB-D cases에서 state-of-the-art 달성
- Future research
  - Large-scale scenes을 위한 Loop closure와의 통합
  - Surface normal과 같은 geometry를 Gaussian을 통해 획득하는 방법